

Starkniederschlagshöhen und -spenden gemäß KOSTRA-DWD-2020

Rasterfeld 168156

(Zeile 168, Spalte 156)

Regenspende und Bemessungsniederschlagswerte in Abhängigkeit von Wiederkehrzeit T und Dauerstufe D

| Dauerstufe D | | Wiederkehrzeit T | | | | | | | | | | | | | | | | | |
|--------------|-----|------------------|------------|------|------------|------|------------|------|------------|------|------------|-------|------------|-------|------------|-------|------------|-------|------------|
| | | 1 a | | 2 a | | 3 a | | 5 a | | 10 a | | 20 a | | 30 a | | 50 a | | 100 a | |
| min | Std | mm | l / (s ha) | mm | l / (s ha) | mm | l / (s ha) | mm | l / (s ha) | mm | l / (s ha) | mm | l / (s ha) | mm | l / (s ha) | mm | l / (s ha) | mm | l / (s ha) |
| 5 | | 7,1 | 236,7 | 8,7 | 290,0 | 9,7 | 323,3 | 11,0 | 366,7 | 12,9 | 430,0 | 14,9 | 496,7 | 16,2 | 540,0 | 17,8 | 593,3 | 20,2 | 673,3 |
| 10 | | 9,3 | 155,0 | 11,5 | 191,7 | 12,8 | 213,3 | 14,5 | 241,7 | 17,1 | 285,0 | 19,6 | 326,7 | 21,3 | 355,0 | 23,6 | 393,3 | 26,8 | 446,7 |
| 15 | | 10,7 | 118,9 | 13,2 | 146,7 | 14,7 | 163,3 | 16,7 | 185,6 | 19,6 | 217,8 | 22,6 | 251,1 | 24,5 | 272,2 | 27,0 | 300,0 | 30,7 | 341,1 |
| 20 | | 11,7 | 97,5 | 14,4 | 120,0 | 16,1 | 134,2 | 18,3 | 152,5 | 21,4 | 178,3 | 24,7 | 205,8 | 26,8 | 223,3 | 29,6 | 246,7 | 33,6 | 280,0 |
| 30 | | 13,2 | 73,3 | 16,2 | 90,0 | 18,1 | 100,6 | 20,5 | 113,9 | 24,1 | 133,9 | 27,7 | 153,9 | 30,1 | 167,2 | 33,3 | 185,0 | 37,8 | 210,0 |
| 45 | | 14,7 | 54,4 | 18,1 | 67,0 | 20,2 | 74,8 | 22,9 | 84,8 | 26,9 | 99,6 | 31,0 | 114,8 | 33,6 | 124,4 | 37,1 | 137,4 | 42,2 | 156,3 |
| 60 | 1 | 15,8 | 43,9 | 19,5 | 54,2 | 21,7 | 60,3 | 24,7 | 68,6 | 29,0 | 80,6 | 33,4 | 92,8 | 36,2 | 100,6 | 40,0 | 111,1 | 45,4 | 126,1 |
| 90 | 1,5 | 17,5 | 32,4 | 21,6 | 40,0 | 24,1 | 44,6 | 27,4 | 50,7 | 32,1 | 59,4 | 37,0 | 68,5 | 40,1 | 74,3 | 44,3 | 82,0 | 50,3 | 93,1 |
| 120 | 2 | 18,8 | 26,1 | 23,2 | 32,2 | 25,8 | 35,8 | 29,4 | 40,8 | 34,4 | 47,8 | 39,7 | 55,1 | 43,1 | 59,9 | 47,6 | 66,1 | 54,0 | 75,0 |
| 180 | 3 | 20,8 | 19,3 | 25,5 | 23,6 | 28,5 | 26,4 | 32,4 | 30,0 | 38,0 | 35,2 | 43,7 | 40,5 | 47,5 | 44,0 | 52,5 | 48,6 | 59,6 | 55,2 |
| 240 | 4 | 22,3 | 15,5 | 27,4 | 19,0 | 30,5 | 21,2 | 34,7 | 24,1 | 40,7 | 28,3 | 46,9 | 32,6 | 50,9 | 35,3 | 56,2 | 39,0 | 63,8 | 44,3 |
| 360 | 6 | 24,5 | 11,3 | 30,1 | 13,9 | 33,6 | 15,6 | 38,2 | 17,7 | 44,8 | 20,7 | 51,6 | 23,9 | 56,0 | 25,9 | 61,9 | 28,7 | 70,2 | 32,5 |
| 540 | 9 | 26,9 | 8,3 | 33,1 | 10,2 | 37,0 | 11,4 | 42,0 | 13,0 | 49,3 | 15,2 | 56,7 | 17,5 | 61,6 | 19,0 | 68,1 | 21,0 | 77,2 | 23,8 |
| 720 | 12 | 28,8 | 6,7 | 35,4 | 8,2 | 39,5 | 9,1 | 44,9 | 10,4 | 52,7 | 12,2 | 60,7 | 14,1 | 65,9 | 15,3 | 72,8 | 16,9 | 82,6 | 19,1 |
| 1080 | 18 | 31,7 | 4,9 | 39,0 | 6,0 | 43,5 | 6,7 | 49,4 | 7,6 | 57,9 | 8,9 | 66,7 | 10,3 | 72,5 | 11,2 | 80,0 | 12,3 | 90,8 | 14,0 |
| 1440 | 24 | 33,9 | 3,9 | 41,7 | 4,8 | 46,5 | 5,4 | 52,8 | 6,1 | 61,9 | 7,2 | 71,3 | 8,3 | 77,5 | 9,0 | 85,5 | 9,9 | 97,1 | 11,2 |
| 2880 | 48 | 39,8 | 2,3 | 48,9 | 2,8 | 54,6 | 3,2 | 62,0 | 3,6 | 72,7 | 4,2 | 83,8 | 4,8 | 91,0 | 5,3 | 100,5 | 5,8 | 114,1 | 6,6 |
| 4320 | 72 | 43,7 | 1,7 | 53,8 | 2,1 | 60,0 | 2,3 | 68,1 | 2,6 | 79,9 | 3,1 | 92,0 | 3,5 | 100,0 | 3,9 | 110,4 | 4,3 | 125,3 | 4,8 |
| 5760 | 96 | 46,7 | 1,4 | 57,5 | 1,7 | 64,1 | 1,9 | 72,8 | 2,1 | 85,4 | 2,5 | 98,4 | 2,8 | 106,9 | 3,1 | 118,0 | 3,4 | 134,0 | 3,9 |
| 7200 | 120 | 49,2 | 1,1 | 60,5 | 1,4 | 67,5 | 1,6 | 76,7 | 1,8 | 89,9 | 2,1 | 103,6 | 2,4 | 112,6 | 2,6 | 124,3 | 2,9 | 141,1 | 3,3 |
| 8640 | 144 | 51,3 | 1,0 | 63,1 | 1,2 | 70,4 | 1,4 | 80,0 | 1,5 | 93,8 | 1,8 | 108,1 | 2,1 | 117,4 | 2,3 | 129,6 | 2,5 | 147,2 | 2,8 |
| 10080 | 168 | 53,2 | 0,9 | 65,4 | 1,1 | 73,0 | 1,2 | 82,9 | 1,4 | 97,2 | 1,6 | 112,0 | 1,9 | 121,7 | 2,0 | 134,4 | 2,2 | 152,5 | 2,5 |

Starkniederschlagshöhen und -spenden gemäß KOSTRA-DWD-2020

Rasterfeld 168156

(Zeile 168, Spalte 156)

Örtliche Unsicherheiten in Abhängigkeit von Wiederkehrzeit T und Dauerstufe D

| Dauerstufe D | | Wiederkehrzeit T | | | | | | | | |
|--------------|-----|------------------|-----|-----|-----|------|------|------|------|-------|
| | | 1 a | 2 a | 3 a | 5 a | 10 a | 20 a | 30 a | 50 a | 100 a |
| min | Std | ± % | ± % | ± % | ± % | ± % | ± % | ± % | ± % | ± % |
| 5 | | 10 | 11 | 11 | 11 | 12 | 13 | 13 | 13 | 14 |
| 10 | | 13 | 15 | 15 | 16 | 17 | 18 | 18 | 19 | 19 |
| 15 | | 16 | 17 | 18 | 19 | 19 | 20 | 21 | 21 | 21 |
| 20 | | 17 | 18 | 19 | 20 | 21 | 22 | 22 | 22 | 23 |
| 30 | | 18 | 20 | 20 | 21 | 22 | 23 | 23 | 24 | 24 |
| 45 | | 18 | 20 | 21 | 22 | 23 | 23 | 24 | 24 | 25 |
| 60 | 1 | 18 | 20 | 21 | 22 | 23 | 23 | 24 | 24 | 25 |
| 90 | 1,5 | 18 | 20 | 20 | 21 | 22 | 23 | 24 | 24 | 25 |
| 120 | 2 | 17 | 19 | 20 | 21 | 22 | 23 | 23 | 23 | 24 |
| 180 | 3 | 16 | 18 | 19 | 20 | 21 | 22 | 22 | 23 | 23 |
| 240 | 4 | 16 | 17 | 18 | 19 | 20 | 21 | 21 | 22 | 22 |
| 360 | 6 | 15 | 16 | 17 | 18 | 19 | 20 | 20 | 21 | 21 |
| 540 | 9 | 14 | 15 | 16 | 17 | 18 | 19 | 19 | 20 | 20 |
| 720 | 12 | 13 | 15 | 15 | 16 | 17 | 18 | 18 | 19 | 19 |
| 1080 | 18 | 13 | 14 | 15 | 15 | 16 | 17 | 17 | 18 | 18 |
| 1440 | 24 | 12 | 13 | 14 | 15 | 16 | 16 | 17 | 17 | 18 |
| 2880 | 48 | 12 | 13 | 13 | 14 | 15 | 15 | 16 | 16 | 16 |
| 4320 | 72 | 12 | 13 | 13 | 14 | 14 | 15 | 15 | 15 | 16 |
| 5760 | 96 | 12 | 13 | 13 | 13 | 14 | 15 | 15 | 15 | 16 |
| 7200 | 120 | 13 | 13 | 13 | 13 | 14 | 14 | 15 | 15 | 15 |
| 8640 | 144 | 13 | 13 | 13 | 14 | 14 | 14 | 15 | 15 | 15 |
| 10080 | 168 | 13 | 13 | 13 | 14 | 14 | 14 | 15 | 15 | 15 |

Parameter für abweichende T und D

Lokationsparameter ξ (Xi)

16,25770355

Skalenparameter α (Alpha)

5,1915584

Formparameter κ (Kappa)

-0,1

1. Koutsoyiannis-Parameter θ (Theta)

0,03323484

2. Koutsoyiannis-Parameter η (Eta)

0,76850525

Parameter für dauerstufenübergreifende Extremwertschätzung nach KOUTSOYIANNIS et al. 1998.

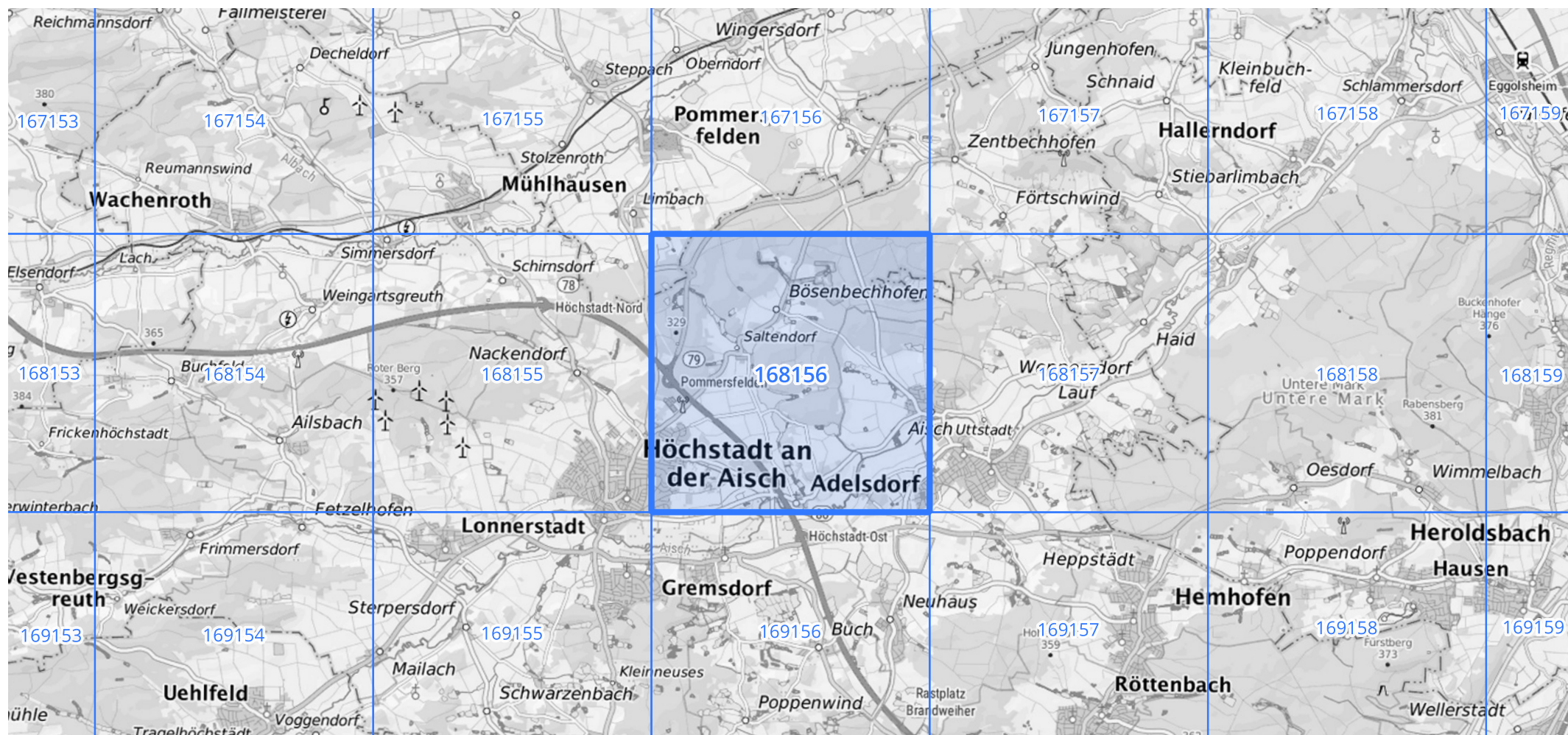
Siehe auch Anwendungshilfe zu KOSTRA-DWD-2020 des Deutschen Wetterdienstes.

Starkniederschlagshöhen und -spenden gemäß KOSTRA-DWD-2020

Rasterfeld 168156

(Zeile 168, Spalte 156)

Übersichtskarte des Rasterfeldes 168156, M 1 : 100 000



Quelle Rasterdaten: KOSTRA-DWD-2020 des Deutschen Wetterdienstes, Stand 12/2022.

Seite 3 von 3

Kartendarstellung: © Bundesamt für Kartographie und Geodäsie (2023), Datenquellen: https://sgx.geodatenzentrum.de/web_public/gdz/datenquellen/Datenquellen_TopPlusOpen.html

Für die Richtigkeit und Aktualität der Angaben wird keine Gewähr übernommen. Erstellt 01/2023.